

Λ -N 相互作用的单 K 及 $2\pi, \pi\rho$ 介子交换理论

吴慧芳 沈建平 余友文 张宗焯

(中国科学院高能物理研究所)

摘 要

本文目的在于用介子交换理论研究 Λ -N 相互作用。我们考虑了三种过程：(i) 单 K 介子交换，(ii) 中间态包含一个核子的 2π 及 $\pi\rho$ 交换的方盒图，(iii) 中间态包含一个核子激发态的 2π 及 $\pi\rho$ 交换的方盒图。为简单起见，在计算中使用了两个近似：第一，假定初始的核子 N 和超子 Λ 是静止的；第二，中间态的能量采取了平均值。得到的结果定性地与实验特点相符合。

一、引 言

从有关超核的一些实验中已知 Λ -N 相互作用具有以下一些特点^[1]：1. 从 Λp 之间不存在束缚态这一事实，得知 $V_{\Lambda N}$ 比 V_{NN} 相应部分的强度要弱一些，约为 V_{NN} 的一半。2. ${}^4\Lambda\text{He}$ 及 ${}^4\Lambda\text{H}$ 的能谱表明（见图 1）， $V_{\Lambda N}$ 与自旋有关，单态比三态具有稍强的吸引力。这一点与 V_{NN} 的特性恰好相反。3. ${}^4\Lambda\text{He}$ 与 ${}^4\Lambda\text{H}$ 结合能差（见图 1）给出了 $V_{\Lambda N}$ 具有明显的电荷不对称性， $V_{\Lambda p}$ 比 $V_{\Lambda n}$ 的吸引力略强一些。

这些实验特点能否由介子交换理论得出呢？这是一个有趣的课题。我们将描述 N-N 相互作用的介子交换理论应用到 Λ -N 相互作用中来，考虑了单 K 交换和 2π 及 $\pi\rho$ 交换

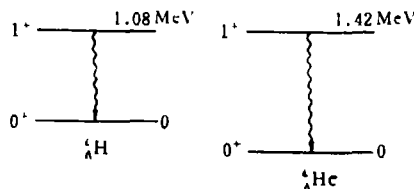


图 1 ${}^4\Lambda\text{H}$ 及 ${}^4\Lambda\text{He}$ 的能谱

机制。在零动量近似和封闭近似下给出了 $V_{p\Lambda}$ 及 $V_{n\Lambda}$ 的解析表达式。选用一般采用的耦合常数，所得的结果表明上述实验特点都可以定性地得到解释。

二、 Λ -N 的介子交换势

我们采用文献^[2]中处理 N-N 相互作用的方法, 来讨论 Λ -N 相互作用。对于 Λ -N 相互作用, 不存在单 π 及单 ρ 交换, 因此我们考虑了如下三种机制: (i) 单 K 交换, (ii) 中间态为 ΣN 的 $2\pi, \pi\rho$ 交换的方盒图, (iii) 中间态为 $\Sigma\Delta$ 的 $2\pi, \pi\rho$ 交换的方盒图 (见图 2)。在这里略去了长 π 图及交叉图, 于是两玻色子交换位 (TBEP) 可以分解为两个传递位。

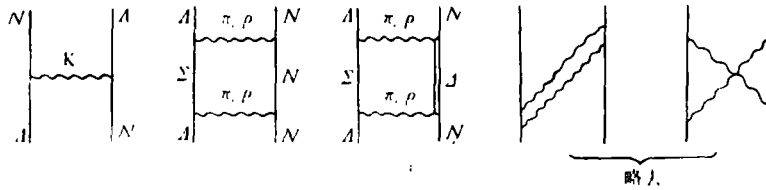
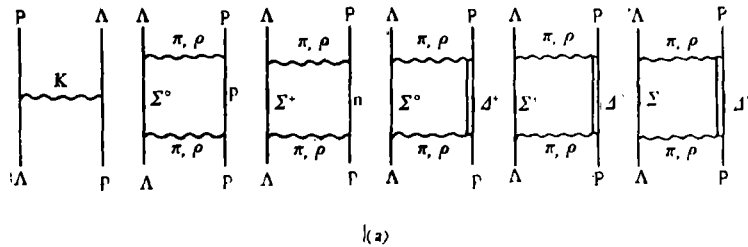
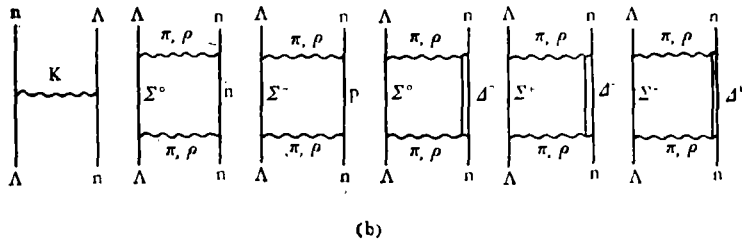


图 2 Λ -N 相互作用的介子交换位

为了研究 Λ -N 相互作用的电荷对称破坏, 我们考虑了各种介子的质量差以及 Σ 和 Δ 的质量差。对于 Λ -p 及 Λ -n 分别考虑了 6 个过程 (见图 3)。



(a) Λ -p 相互作用



(b) Λ -n 相互作用

图 3

在计算中, 有两类介子, 一类是赝标介子 (ps), 另一类是矢量介子 (V)。在非相对论近似下, 相互作用哈密顿量是

$$H_{NAK} = -\sqrt{4\pi} \frac{f_{NAK}}{m_K} (\boldsymbol{\sigma} \cdot \boldsymbol{\nabla})(\boldsymbol{\tau}_{NA} \cdot \boldsymbol{\varphi}_K), \quad (1)$$

$$H_{NN\pi} = -\sqrt{4\pi} \frac{f_{NN\pi}}{m_\pi} (\boldsymbol{\sigma} \cdot \nabla)(\boldsymbol{\tau} \cdot \boldsymbol{\varphi}_\pi), \quad (2.1)$$

$$H_{\Delta N\pi} = -\sqrt{4\pi} \frac{f_{\Delta N\pi}}{m_\pi} (\boldsymbol{\sigma}_{\Delta N} \cdot \nabla)(\boldsymbol{\tau}_{\Delta N} \cdot \boldsymbol{\varphi}_\pi), \quad (2.2)$$

$$H_{\Sigma\Lambda\pi} = -\sqrt{4\pi} \frac{f_{\Sigma\Lambda\pi}}{m_\pi} (\boldsymbol{\sigma} \cdot \nabla)(\boldsymbol{\tau}_{\Sigma\Lambda} \cdot \boldsymbol{\varphi}_\pi), \quad (2.3)$$

$$H_{NN\rho} = \sqrt{4\pi} \left\{ i g_{NN\rho} \boldsymbol{\tau} \cdot \boldsymbol{\varphi}_{\rho A} - \frac{f_{NN\rho}}{m_\rho} (\boldsymbol{\sigma} \times \nabla)_i (\boldsymbol{\tau} \cdot \boldsymbol{\varphi}_{\rho i}) \right\}, \quad (3.1)$$

$$H_{\Delta N\rho} = -\sqrt{4\pi} \frac{f_{\Delta N\rho}}{m_\rho} (\boldsymbol{\sigma}_{\Delta N} \times \nabla)_i (\boldsymbol{\tau}_{\Delta N} \cdot \boldsymbol{\varphi}_{\rho i}), \quad (3.2)$$

$$H_{\Sigma\Lambda\rho} = -\sqrt{4\pi} \frac{f_{\Sigma\Lambda\rho}}{m_\rho} (\boldsymbol{\sigma} \times \nabla)_i (\boldsymbol{\tau}_{\Sigma\Lambda} \cdot \boldsymbol{\varphi}_{\rho i}). \quad (3.3)$$

其中

$$\left\langle \frac{3}{2} \|\boldsymbol{\sigma}_{\Delta N}\| \frac{1}{2} \right\rangle = \left\langle \frac{3}{2} \|\boldsymbol{\tau}_{\Delta N}\| \frac{1}{2} \right\rangle = 2, \quad (4.1)$$

$$\langle 1 \|\boldsymbol{\tau}_{\Sigma\Lambda}\| 0 \rangle = \sqrt{3}, \quad (4.2)$$

$$\left\langle \frac{1}{2} \|\boldsymbol{\tau}_{N\Lambda}\| 0 \right\rangle = -\sqrt{2}. \quad (4.3)$$

由此可以得到：单K交换位在动量表象为

$$-4\pi f_{\Lambda NK}^2 \frac{(\boldsymbol{\sigma}_1 \cdot \mathbf{q})(\boldsymbol{\sigma}_2 \cdot \mathbf{q})}{\omega_q^2 m_K^2} \boldsymbol{\tau}_{N\Lambda}^+(1) \cdot \boldsymbol{\tau}_{N\Lambda}(2). \quad (5)$$

其中

$$\omega_q^2 = \mathbf{q}^2 + m_K^2 - (M_\Lambda - M)^2, \quad (5.1)$$

很容易就可以将它变换到坐标表象，得到 $V_{\Lambda NK}^{(K)}(r)$ 。对于两玻色子交换的情况，以交换 2π ，中间态为 ΣN 的情况为例，(见图4) 它在动量表象的表达式为

$$\frac{(4\pi)^2}{4m_\pi^4} f_{NN\pi}^2 \cdot f_{\Lambda\Sigma\pi}^2 \cdot \left\{ (\boldsymbol{\sigma}_1 \cdot \mathbf{q})(\boldsymbol{\sigma}_2 \cdot \mathbf{q}) \frac{1}{\omega_1} \left(\frac{1}{\omega_1 + \ell} + \frac{1}{\omega_1 + \hat{E}} \right) (\boldsymbol{\tau}_{\Sigma\Lambda}^+(1) \cdot \boldsymbol{\tau}(2)) \right\} \\ \cdot \frac{1}{E_i - H_0} \left\{ (\boldsymbol{\sigma}_1 \cdot \mathbf{q}')(\boldsymbol{\sigma}_2 \cdot \mathbf{q}') \frac{1}{\omega_2} \left(\frac{1}{\omega_2 + \ell} + \frac{1}{\omega_2 + \hat{E}} \right) (\boldsymbol{\tau}_{\Sigma\Lambda}(1) \cdot \boldsymbol{\tau}(2)) \right\}. \quad (6)$$

其中

$$\omega_1^2 = \mathbf{q}'^2 + m_\pi^2, \quad (7.1)$$

$$\omega_2^2 = \mathbf{q}'^2 + m_\pi^2, \quad (7.2)$$

$$\ell = \sqrt{(\mathbf{p} + \mathbf{q})^2 + M^2} - \sqrt{\mathbf{p}^2 + M^2}, \quad (8.1)$$

$$\hat{E} = \sqrt{(\mathbf{p} + \mathbf{q})^2 + M_\Sigma^2} - \sqrt{\mathbf{p}^2 + M_\Lambda^2}. \quad (8.2)$$

$(E_i - H_0)$ 代表中间态为 ΣN 的能量传播子。要将(6)式变换到坐标表象是比较复杂的。为了简单，我们采用以下两点近似：(i) 零动量近似，即认为初态粒子的动量很小；

(ii) 封闭近似，即将中间态的能量取为平均值。于是(6)式

可以分解为两个传递位，而且每个传递位可以简单地由解析表达式给出^[2]。在略去传递

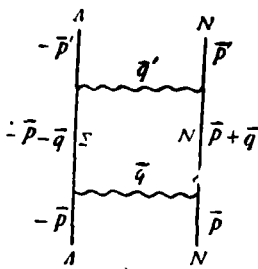


图4 2π 交换位

位中的自旋轨道耦合项的情况下, 我们得到的 $V_{\Lambda N}$ 包括三部分: 中心力、自旋交换力以及张量力, 即

$$V_{\Lambda p} = V_{\Lambda p}^{(c)}(r) + V_{\Lambda p}^{(s)}(r)\sigma_1 \cdot \sigma_2 + V_{\Lambda p}^{(T)}(r)S_{12}, \quad (6.1)$$

$$V_{\Lambda n} = V_{\Lambda n}^{(c)}(r) + V_{\Lambda n}^{(s)}(r)\sigma_1 \cdot \sigma_2 + V_{\Lambda n}^{(T)}(r)S_{12}. \quad (6.2)$$

所选用的各种介子的耦合常数列在表 1 中. 对于 N 与 Δ 的顶点, 耦合常数取为通常计算核力中所采用的值; 对于 Λ 与 Σ 的顶点, 有的取为实验值, 有的借助于层子模型导出. 由此通过简单的运算就可以得到 $V_{\Lambda N}$.

表 1 各种介子的耦合常数^[3]

K 介子	π 介子	ρ 介子
$f_{\Lambda NK} = 0.872$	$f_{NN\pi} = 0.277$	$g_{NN\rho} = 1.721$
	$f_{\Delta N\pi} = 0.600$	$f_{NN\rho} = 2.715$
	$f_{\Lambda\Sigma\pi} = 0.209$	$f_{\Delta N\rho} = 4.607$
		$f_{\Sigma\Lambda\rho} = 1.951$

三、计算结果与讨论

计算的结果给在图 5 中, 分别给出了 $V_{\Lambda p}$ 及 $V_{\Lambda n}$ 的五个部分: 交换 K 介子的自旋交换力 $V_{\Lambda N}^{K(s)}(r)$ 和张量力 $V_{\Lambda N}^{K(T)}(r)$ 以及交换 $2\pi, \pi\rho$ 的中心力 $V_{\Lambda p}^{(c)}(r), V_{\Lambda n}^{(c)}(r)$, 自旋交换力 $V_{\Lambda N}^{(s)}(r)$ 和张量力 $V_{\Lambda N}^{(T)}(r)$. 从图 5 中可以看到:

1. $V_{\Lambda N}$ 的中心力(它只由 2π 及 $\pi\rho$ 交换所贡献)的主要特点与 N-N 相互作用相似, 即短程部分有一个排斥心, 中程是一个吸引位. 但 $V_{\Lambda N}$ 比相应的 V_{NN} 要弱一些, 大致上弱一倍左右, 这一点与实验特点是一致的.
2. 给出了 $V_{\Lambda N}$ 的电荷不对称性, $V_{\Lambda p}$ 的中心力部分比 $V_{\Lambda n}$ 的吸引力稍强一些.

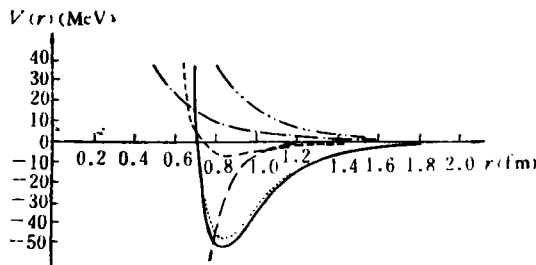


图 5 Λ -N 相互作用

—— $V_{\Lambda p}^{(c)}$; ---- $V_{\Lambda n}^{(c)}$; $V_{\Lambda p}^{(s)}$; - · - · - $V_{\Lambda n}^{(s)}$; - - - $V_{\Lambda p}^{(T)}$; - · - · - $V_{\Lambda n}^{(T)}$

3. $V_{\Lambda N}$ 中的自旋交换项由两部分提供, 一部分是单 K 交换, 它只对交换项有贡献; 另一部分是 2π 及 $\pi\rho$ 交换. 它只对直接项有贡献. 当第一部分的作用大于第二部分时, 可以得到 $s = 0$ 的态比 $s = 1$ 的态具有稍强的吸引力.

根据以上的分析, 可以看到: 尽管我们所采用的办法是初步的, 但是单 K 交换及 $2\pi, \pi\rho$ 交换机制所给出的 Λ -N 相互作用是定性地与实验特点相符合的. 它为研究超核结构

提供了一个初步可信的 Λ -N 相互作用。进一步,准备改进近似的方法,更仔细地研究 Λ -N 的介子交换势。

参 考 文 献

- [1] G. Backenstoss et al., *Contemp. Phys.*, 15(1974), 197; A. Bamberger et al., *Phys. Lett.*, 36B (1971), 412; *Nucl. Phys.*, B60(1973), 1.
- [2] J. W. Durso, M. Saarela, G. E. Brown and A. D. Jackson, *Nucl. Phys.*, A278(1977), 445; A. M. Green, *Proc. Int. Conf. on Nuclear Structure*, Tokyo, 1977; *J. Phys. Soc., Japan*, 44(1978), Suppl p. 43.
- [3] M. M. Nagels et al., *Nucl. Phys.*, B109(1976), 1; M. Saarela, ACTA UNIVERSITIS OULU-ENSIS, Series A Scientiae Rerum Naturalium, No. 54, Physica, No. 13.

SINGLE K MESON AND 2π , $\pi\rho$ EXCHANGES IN THE Λ -N INTERACTION

WU HUI-FANG SHEN JIAN-PING YU YOU-WEN ZHANG ZONG-YE
(*Institute of High Energy Physics, Academia Sinica*)

ABSTRACT

The purpose of this paper is to study the Λ -N interaction by using meson exchange theory. We have considered three processes: i) Single K meson exchange, ii) Box diagrams of 2π and $\pi\rho$ exchanges with a nucleon in the intermediate states, and iii) Box diagrams of 2π and $\pi\rho$ exchange with an isobar in the intermediate states. For simplicity, two approximations are used in the calculation. First, the initial nucleon N and hyperon are considered to be at rest. Second, an average value is used for the energies of the intermediate states. The results are qualitatively consistent with experiments.